

# CO<sub>2</sub>-aren balorizazio zuzena hidrokarburoak ekoizteko

(Direct valorization of CO<sub>2</sub> to hydrocarbons)

Ainara Ateka\*, Ander Portillo, Javier Ereña, Javier Bilbao

Ingeniaritza Kimikoa Saila, Zientzia eta Teknologia Fakultatea (UPV/EHU)

**LABURPENA:** Erregai fosilen errekuntzek eragindako klima-aldaketa pairatzea da egungo gizartearen erronka nagusietariko bat. Errekuntza horiek isuritako berotegi-efektuko gasen artean ugariena karbono dioxidoa (CO<sub>2</sub>) da, haien % 75 inguru. Beraz, honen emisioak murriztea eta da-goeneko isuritakoa bahitzea ezinbesteko da klima-aldaketak eragindako ingurumen-kaltea ahalik eta gehien murrizteko. Horretarako, ezinbestekoak dira CCU teknologiak (karbono dioxidoaren bahiketa eta erabilera). CO<sub>2</sub>-a erabiltzen duten prozesuen artean, bihurtze katalitikoak etorkizun laburrean ezartzeko aukera onak ditu. Prozesu katalitikoaren artean, ohikoena CO<sub>2</sub>-aren hidrogenazioa da, hidrokarburoak lortuz. Prozesu honen moldakortasuna da bere ezaugarri interesgarrietakoak; izan ere, modu hautakorrean hidrokarburo ezberdinak ekoizten dira; bestekat Beste, olefinak, parafina astunak zein arinak eta aromatikoak. Operazio baldintzak, katalizatzale motak eta beren ezaugarriak, zein lorturiko CO<sub>2</sub>-aren balorizazio-mailak ekoitzu nahi den hidrokarburoaren araberakoak dira.

**HITZ GAKOAK:** CO<sub>2</sub>-aren balorizazioa, metanola, dimetileterra, aromatikoak, erregaiak.

**ABSTRACT:** Mitigating the climate change caused by fossil fuels burning is one of the major challenges of today's society. The most abundant (75%) of the greenhouse gases emitted by these combustions is carbon dioxide (CO<sub>2</sub>). Therefore, reducing its emissions and capturing what already has been emitted, known as CCU (Carbon dioxide Capture and Utilization) technology, is essential for minimizing the environmental damage caused by climate change. Among the processes that use CO<sub>2</sub> as a feedstock, its catalytic conversion has good potential for implementation in the short term. Among the catalytic processes, the most common is its hydrogenation to obtain hydrocarbons. One of the most interesting features of this process is its versatility, as different hydrocarbons can be selectively produced; such as olefins, heavy paraffins or aromatics. The operating conditions, types of catalysts and their characteristics, as well as the CO<sub>2</sub> conversion degrees obtained, depend on the hydrocarbons to be produced.

**KEYWORDS:** CO<sub>2</sub> valorization, methanol, dimethylether, aromatics, fuels.

\* **Harremanetan jartzeko / Corresponding author:** Ainara Ateka. Ingeniaritza Kimikoa Saila, Zientzia eta Teknologia Fakultatea (UPV/EHU), Sarriena Auzoa (48940 Leioa). – ainara.ateka@ehu.eus – <https://orcid.org/0000-0002-3863-5808>

**Nola aipatu / How to cite:** Ateka, Ainara; Portillo, Ander; Ereña, Javier; Bilbao, Javier (2021). «CO<sub>2</sub>-aren balorizazio zuzena hidrokarburoak ekoizteko». *Ekaia*, 41, 2021, 171-190. (<https://doi.org/10.1387/ekaia.22567>).

Jasotze-data: 2021, martxoak 4; Onartze-data: 2021, apirilak 20.

ISSN 0214-9753 - eISSN 2444-3581 / © 2021 UPV/EHU



Lan hau Creative Commons Aitorrtu-EzKomertziala-LanEratorrrikGabe 4.0 Nazioartekoa lizenzia baten mende dago

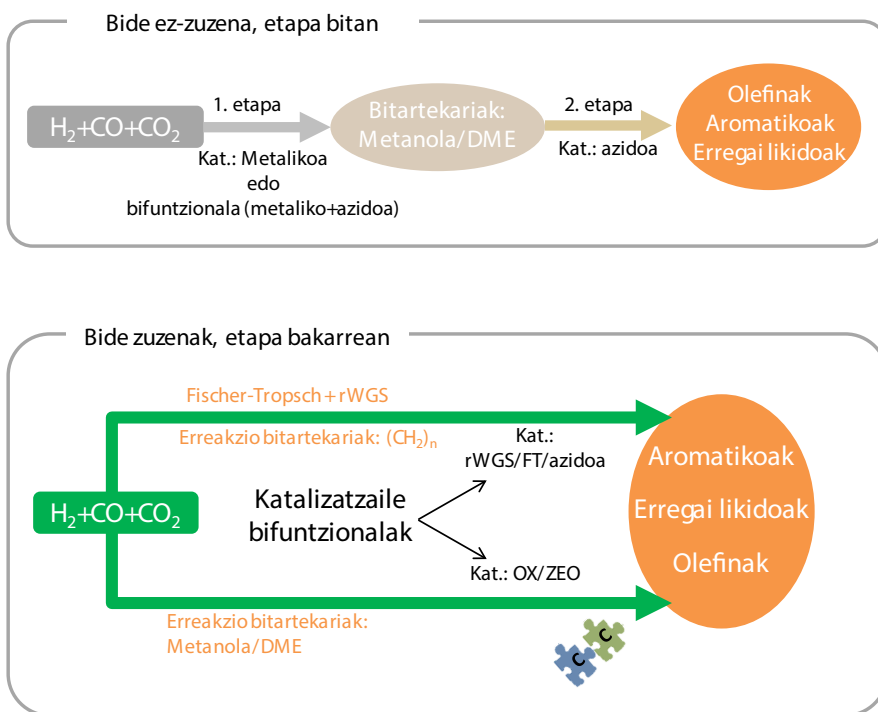
## 1. SARRERA

Gizateriaren garapenaren nahigabeko ondorio gisa, atmosferako CO<sub>2</sub>-aren kontzentratzioa industria-iraultzaren aurrekusten da XXI. mende bukaerarako [1]. Hortaz, berotze globala eta klima-aldaketa geldiarazteko, lehentasun bihurtu da CO<sub>2</sub> emisioak murriztea. Helburu horretarako, hiru ekintza-bektore konbinatzea proposatzen da [2]: 1) energiaren erabilera eraginkorragoa; 2) karbonoaren menpekotasuna murriztea, erregai ez-fosilak eta energia berritztagarriak erabiliz energia eskaera gorakorra asetzeko; 3) CO<sub>2</sub>-a bahitzeko, biltegiratzeko [3] eta balorizatzeko [4] teknologien garapena.

CO<sub>2</sub>-a bahitu eta biltegiratzeko kostuak konpentsatzeko (prozesu osoaren 2/3 baino gehiago), CO<sub>2</sub>-aren zentzuzko baloraziorako aukera bat interes komertzialeko produktu bihurtzea da [4]. Horretarako, CO<sub>2</sub>-aren egitura egonkorra aktibatzeko gai diren bide desberdin bidez C-C, C-H, C-O edota C-N loturak sortzea bilatzen da [2]. Bide bakoitzaren izaera kontuan hartuta, ibilbide katalitikoak, biokimiko/biologikoak, elektrokimikoak eta fotokimikoak bereiz daitezke [4, 5]. Bide desberdin garapen teknologikoak eta egungo eszenatoki energetikoa kontuan hartuta, bide katalitikoak dira epe laburrean ezartzeko aukera onenak dituztenak, betiere industria petrokimikoan erabiltzen diren prozesuekin batera erregaiak (metanoa, metanola, dimetileterra (DME), likidotutako gasak, gasolina, gasolioa) edo lehengaiak (olefinak eta aromatikoak) ekoizteko [6].

Bi estrategia bereiz daitezke CO<sub>2</sub>-aren hidrogenazioaren bidez hidrokarburoak (C<sub>2+</sub>) ekoizteko prozesu katalitikoetarako (1. irudia) [7]: i) *bi etapatan*; zeinetan lehen etapan metanola edota DMEA sortzen diren bitartekari gisa, eta onoren, bigarren erreaktore batean konposatu oxigenatu horiek (metanola eta DMEA) hidrokarburo bihurtzen diren; eta ii) *hidrokarburoen ekoizpen zuzena* erreaktore bakarrean. Kontuan izan behar da prozesu horien garapenean faktore mugatzaile nagusia H<sub>2</sub> eskakizunetatik eratorritako energia kontsumoa dela. Hori dela eta, aipatutako prozesuen etorkizuna energia berritzagarrien erabilerakin lotuta dago [8]. Helburua H<sub>2</sub>-a energia berritzagarriak erabiliz eta CO<sub>2</sub> isurpenik gabe (H<sub>2</sub>O elektrolisia) [9] edo emisio mugatuekin (biomasaren erreformakuntza) lortzea bada ere, epe laburrean interesgarria da ingurumen eta ekonomiaren ikuspuntuak CO<sub>2</sub>-aren hidrogenazioa bio-gasaren erreformakuntzarekin konbinatzea [10].

1. irudiko bide guztiak banakako erreakzio bakoitzaren mugapen termodinamikoak murriztea bilatzen dute (metanolaren sintesia, metanolaren deshidrataziotik DMEA lortzea, ur-gasaren alderantzizko erreakzioa —rWGS, reverse Water Gas Shift, ingelessez—).

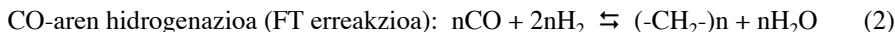


**1. irudia.** CO<sub>2</sub>-tik hidrokarburoak ekoizteko bideak.

Honenbestez, bide ez-zuzenaren lehen etapari erreparatuz, aukera bi aģertzen dira: metanola edota DMEa sintetizatzea. Etapa honetan metanola sintetizatu beharrean, katalizatzaila bifuntzionalak erabiliz, hori *in situ* DME bihurtzean (STD prozesua, Syngas To DME, ingelesez; hots, Sintesi-Gasetik Dimetil eterra zuzenean sortzeko prozesua), prozesuaren etekina hobetzen da, metanolaren sintesia hobetzen baita, erreakzioaren oreka desplazatzea lortzen delako [11, 12]. Beraz, bere aldetik, metanolaren sintesiarekin edo etapa bitan egindako DMEaren sintesiekin alderatuz (metanolaren sintesia eta ondorengo deshidratazioa), STD prozesuak bere baitan abantaila termodinamikoak aurkezten ditu CO<sub>2</sub>-aren balorizaziorako [12]. Bestalde, bigarren etapan ekoitzuriko DMEa oxigenatu tarako ezaguna den «hidrokarburo pool» deritzeron mekanismoari jarraituz olefina arin eta hidrokarburo bihurtzen da, prozesuaren hautakortasuna erabilitako katalizatzaila azidoaren propietateen menpekoia izanik. Bibliografian, bigarren etapa honen, hau da, DMEtik bai hidrokarburoak eta bereziki olefinak ekoizteko prozesuak (DTO, DME To Olefins prozesua) aparteko interesa sortu du HZSM-5 zeolita katalizatzaila erabiliz [13]. Laburbilduz, bide ez-zuze-

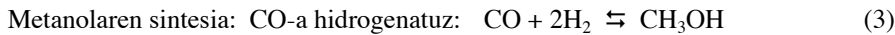
nak STD eta DTO prozesuak jarraian burutzean datza, 1. irudian adierazten denez.

Etapa bakarrean egindako hidrokarburoen ekoizpenari dagokionez, bide desberdinei jarraituz burutu daiteke: i) Fischer-Tropsch (FT) sintesiaren bidez; edo ii) metanola/DMEA bitartekari gisa erabiliz, hauetan erreaktore berberean hidrokarburo bihurtuz. Lehenengo bidean, hau da, FT sintesiaren bidez  $\text{CO}_2$ -a hidrogenatzean, ezinbestekoak dira jarraian ematen diren honako erreakzio hauek:

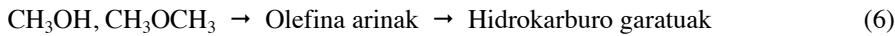


rWGS erreakzioa termodinamikoki mugatua dago (% 23ko etekina 300°C eta 25 bar-ean, esate baterako), eta beraz, hidrokarburoen eraketa FT erreakzioaren garatzeak baldintzatzen du ( $\text{CO}$ -a,  $\text{CO}_2$ -a baino erreaktibogaia izanik, FT baldintza eta katalizatzaleekin). Polimerizazio-erreakzio honekin hidrokarburoen banaketa (distribuzio) zabala lortzen da (Anderson-Schulz-Flory banaketa, ASF).

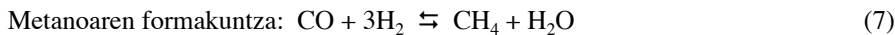
FT sintesiak dituen hautakortasun-mugapenak saihesteko, konposatu oxigenatuak bitartekari gisa dituzten bideek arreta handia jaso dute azken urteotan. OX/ZEOL kontzeptuan oinarritutako katalizatzale bifuntzionala erabiliz (oxido metalikoa/zeotipo hautakorra), olefinak, aromatikoak edo gasolina modu hautakorrean lortzeko prozesuak duen moldakortasuna azpimarratuz. Prozesu honetan erabiltzen diren erreakzio-baldintzetan (FT sintesian baino tenperatura altuagoak konposatu oxigenatuak bihurtzea faboratzeko, katalizatzale aproposak erabiliz), rWGS erreakzioaz gain (1. ekuazioa) garrantzitsuak dira konposatu oxigenatuak sintesi eta ondorenko hidrokarburoetarako bihurtze-erreakzioak ere:



Hidrokarburoen formazioa:



$\text{CO}_2$ -aren hidrogenazio bidez hidrokarburoak ekoizteko bide bietan nahi ez den hurrengo erreakzioa ere gertatzen da:



Aurretik aipatu den bezala, olefinen ekoizpenari ere (MTO eta DTO prozesuen bidez, metanola eta DMEtik abiaturaz, hurrenez hurren) lehen-tasunezko arreta eman zaio. Gainera, olefinen eskaera gero eta handiagoa izanik, eta kontuan izanik haien oligomerizazio-aukerak gasolina eta diesel frakzioko hidrokarburo astunak eratzeko, CO<sub>2</sub>-aren bihurtzeak ere lehenta-sunezko arreta jaso du azken urteotan [14].

Hurrengo ataletan CO<sub>2</sub>-tik hidrokarburoak sortzeko bide zuzenak azalduko dira.

## 2. FISCHER TROPSCH SINTESIA

Orain arte, Fischer-Tropsch (FT) sintesia erregai sintetikoak eratzeko era-bili izan da. Hau da, sintesi-gasetik (CO+H<sub>2</sub>) hidrokarburoak sortzeko. Honen-bestez, CO<sub>2</sub>-aren hidrogenaziorako egokitzapena nahiko moldaketa berria da.

### 2.1. Sintesi-gasa erabiliz lehengai modura

FT sintesia Fe eta Co katalizatzaileak erabiliz egiten da [15, 16]. Pro-zesu honen erronka, olefina edo kate luzeko hidrokarburoen (gasolina) hautakortasuna handitzea da. Hautakortasunaren kontrola lortze horrek ka-talizatzaileen aldaketa ugariak ikertzea bultzatzen du. Horrela, Fe kataliza-tzaileetan K eta Na bezalako promotore alkalinoak sartzeak, esate baterako, C<sub>2</sub>-C<sub>4</sub> olefinak eratzea errazten du [17].

Hautakortasuna areagotzeko beste estrategia bat katalizatzaile bime-talikoen erabilera litzateke. Esaterako, Fe-Mn, Fe-Ni edota Fe-Co. Azken katalizatzaile bimetalikoaren kasurako, promotore kimiko (K, Cu, Mn) eta estruktural desberdinak (SiO<sub>2</sub>, Al<sub>2</sub>O<sub>3</sub>) ere erabili izan dira. Fe-Bi eta Fe-Pb katalizatzaileek hidrokarburo linealen ekoizpen hautakorra faboratzen dute [18]. Olefinak ekoizteko, zeolita azidoa erabiltzen da euskarri gisa funtzio metalikoan sintetizaturiko hidrokarburoak krakeatzeko: erabiliena HZSM-5 da.

Honenbestez, ondo ezarrita dago literaturan Fe/HZSM-5 katalizatzai-learnen gaitasuna aromatikoen ekoizpen hautakorra lortzeko, nahiz eta koke-jalkipen handiak ere sortzen diren prozesuan [19]. Weber eta kol.-ek [20] HZSM-5 zeolitak parafinak sortzea saihesteko duen gaitasuna azpimarratzen dute, aromatiko eta olefinen produkzioa faboratuz (% 18 eta % 55, hu-renez hurren). HZSM-5 zeolita SiO<sub>2</sub>-z estaltzeak aromatikoen hautakor-tasuna % 68,9ra arte handitzen du, p-xilenoa izanik haien artean ugariena (honen isomerizazioa saihesten baita) FeMn/HZSM-5/SiO<sub>2</sub> katalizatzaileak erabiliz [21]. Ni eta kol.-ek [22] HY zeolita erabili dute Fe<sub>2</sub>O<sub>3</sub>-ZnO-ZrO<sub>2</sub>/HY katalizatzailearekin C<sub>4</sub> eta C<sub>5</sub> iso-alkanoak modu hautakorrean ekoiz-teko, eta core-shell konfigurazioarekin emaitzak hobetzea ere lortu dute.

## 2.2. CO<sub>2</sub>-aren hidrogenazioa, CO<sub>2</sub> + H<sub>2</sub> erabiliz lehengai modura

FT sintesiaren emaitzak desberdinak dira aurretik komentatutako CO-aren hidrogenazioan (2. ekuazioa) eta CO<sub>2</sub>-aren hidrogenazioan (1-2. ekuazioak). Izan ere, CO<sub>2</sub>-aren adsortzio-ahalmena txikiagoa dela eta, gune aktiboen gainazalean H/C erlazioa handiagoa da, eta horrek, CH<sub>4</sub>-aren era-keta erraztu eta olefinak parafinetara hidrogenatzea bultzatzen du. CO<sub>2</sub>-aren hidrogenaziorako katalizatzaile erabilienak [23] Fe (ohikoenak), Co edo Fe-Co-z konposatutakoak dira. Kasu honetan ere, promotore desberdinak erabili izan dira: alkalinoak, Cu, Mn, CeO<sub>2</sub> (ur-gasaren alderantzizko erreakzioa eta olefinen formazioa aktibatzen dituztenak). Euskarri gisa honako hauek erabiltzen dira: γ-Al<sub>2</sub>O<sub>3</sub>, SiO<sub>2</sub>, TiO<sub>2</sub>, ZrO<sub>2</sub> eta zeolita desberdinak. Aipatu beharra dago, Fe katalizatzaileekin alderatuta, Co katalizatzaileek hidrokarburo astunagoak eratzeko abantaila dutela, baina desabantaila bat ere badute: CH<sub>4</sub>-aren etekina ere handia izan ohi da.

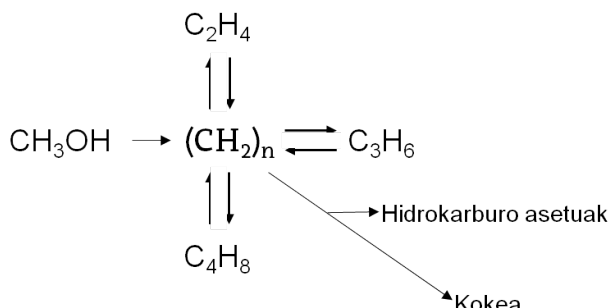
Saeidi eta kol.-ek [24] errebisio bibliografikoa egin zuten rWGS (1. ekuazioa) eta FT (2. ekuazioa) sintesiaren bidezko CO<sub>2</sub>-aren hidrogenazio-erreakzioetarako proposatutako mekanismoak eta ekuazio zinetikoak aztertuz. Fe katalizatzaileetarako onartu ohi den mekanismoak: alde batetik, Fe karburoak hartzen ditu bitartekari gisa, ur-gasaren alderantzizko erreakziorako aktiboak direnak; eta bestetik, erreakzioaren joanean Fe-ak hartzen dituen egoera desberdinek aktibatzen dute hidrokarburoen formazioa. Ramírez eta kol.-ek [25] Fe<sub>2</sub>O<sub>3</sub>@K<sub>2</sub>O katalizatzailea azidotasun eta topología hautakorra duen katalizatzaile azidoarekin konbinatzea proposatzen dute. Horrela, SAPO-34-arekin konbinatuz gero, olefinen hautakortasuna % 45ekoa da, eta bihurtze-maila % 50ekoa 375 °C-tan (ohiko FT sintesian erabiltzen den temperatura baino altuagoa) eta 30 bar-ean [26]. Cui eta kol.-ek [27] aromatikoen % 75,6ko hautakortasuna eta CO<sub>2</sub>-aren % 41,2ko bihurtze-maila lortu dituzte, ZnFeO<sub>x</sub> spinela katalizatzailea HZSM-5 zeolitarekin konbinatuz. Bestalde, Xu eta kol.-ek [19] aromatikoen hautakortasun handia (% 94) lortzeaz gain NaFe/HZSM-5 katalizatzailearekin, p-xilenoren isomerizazioa eta olefinen parafinetarako hidrogenazioa saihestu dituzte, HZSM-5 zeolita SiO<sub>2</sub>-rekin estaliz. Sonal eta kol.-ek [28] CO<sub>2</sub>-a sintesi-gasarekin batera elikatzearen interesa azpimarratzen dute, eta CO<sub>2</sub>/ (CO+CO<sub>2</sub>) erlazioak bihurtze-mailan eta hidrokarburoen etekinean duen eragina aztertu dute 240-280 °C tartean Fe-Co katalizatzailea erabiliz.

## 3. HIDROKARBUROEN SINTESIA KONPOSATU OXIGENATUAK BITARTEKARI (METANOLA/DME)

### 3.1. Prozesuaren ezaugarri orokorrak

Sintesi-gasa eta CO<sub>2</sub>-tik hidrokarburoak zuzenean ekoiztea, metanola/DME bitartekari gisa gero eta arreta handiagoa hartzen ari den prozesua

da, bai olefinak, parafina arinak zein hidrokarburo astunak modu hautako-rean ekoizteko duen aldakortasun edo malgutasunagatik. Bide honek bi etapatan egindako bide ez-zuzenarekiko abantaila termodinamikoak izateaz gain, prozesuan gertatzen den kokearen bidezko katalizatzalearen desaktibazioa txikiagoa da hidrokarburoen formaziorako beste prozesu batzuetan (MTO edo DTO) gertatzen dena baino, zeren H<sub>2</sub> presio partzial handiak kokearen ezarpena mugatzen baitu. Prozesu honetan katalizatzale bifunktionalak behar dira. OX/ZEOL (metal oxido/zeolita) kontzeptuaren arabera, funtzi metalikoa konposatu oxigenatuen (metanola/DME) sintesirako; eta funtzi azidoa bitartekari moduan eratu diren konposatu oxigenatu horiek *in situ*, errektore berberean, hidrokarburoetara bihurtzeko erabiltzen dira [29]. Esan beharra dago prozesu zuzen edo integratu honetan erabil-tzen diren errektzio baldintzak errektzio-etapa bakoitzerako egokienak di-renen bitartekoak direla. Horrek errektzio mekanismoa ulertzea zaitzen du, etapa bakoitzerako aukera desberdinak aurki baitaitezke. Oro har, metanola/DMEaren sintesirako formiato ioiak bitartekari gisa dituen mekanis-moa arrazoiz justifikatuta dago, eta baita «hidrokarburo pool» mekanismoa (2. irudia) konposatu oxigenatu horien hidrokarburoetarako bihurtzea arra-zoitzeko [30].



**2. irudia.** «Hidrokarburo pool» mekanismoaren es-kema, [31]-tik moldatua.

Katalizatzaile bifuntzionalaren konposizio idealak erreakzio-baldintzen eta erreakzio-sistemaren termodinamikaren araberakoa da. Olefinen hau-takortasuna eta olefina/parafina erlazioa maximizatzeko, beharrezkoak da funtziotako metalikoak C=C loturen gehiegizko hidrogenaziorako eta metanoa sortzeko dituen gaitasunak saihestea edo mugatzea. Katalizatzaileen beste ezaugarri bat gune metalikoen eta azidoen gerturatzearren komenigarritasuna da, bi gune aktiboetan gertatzen diren erreakzio iteratiboen sinergia hobetzeko [32].

### 3.2. Sintesi-gasa erabiliz lehengai modura

Cu-an oinarritutako katalizatzaileek (metanolaren sintesian erabilienak), hala nola CuO-ZnO-Al<sub>2</sub>O<sub>3</sub>/SAPO-34-ak, emaitza onak eman dituzte olefinak ez diren beste hidrokarburuen frakzioak lortzeko. Hala nola, C<sub>2</sub>-C<sub>3</sub> parafinak, olefinak lortzeko lurrun bidezko krakeo unitateetan elikadura moduan erabiltzeko interesgarriak direnak (etilenoa batez ere). Hala ere, prozesu honetan beharrezkoa den tenperaturan (> 350°C kasu guztietan, oxigenatuak hidrokarburo bihurtzeko prozesuaren garapen nabarmena lortzen), saihestezina da Cu-a sinterizatzea H<sub>2</sub>O eduki handia duen ingurunean. Bestalde, ZnO-aren interesa ere aztertu izan da CO-a aktibatzeko eta olefinen etekin handia lortzeko. Raveendra eta kol.-ek [33] katalizatzaile desberdinak probatu dituzte Zn-M funtzio metalikoa (M = Al<sub>2</sub>O<sub>3</sub>, ZrO<sub>2</sub>, Cr<sub>2</sub>O<sub>3</sub>, CeO<sub>2</sub>) eta SAPO-34 funtzio azidoa konbinatuz. Zn-Cr<sub>2</sub>O<sub>3</sub>/SAPO-34 konfigurazioarekin CO-aren bihurtze-maila handiagoa (~% 17) lortu dute, ZnO-Al<sub>2</sub>O<sub>3</sub>/SAPO-34-arekin olefinen hautakortasun handiagoa (~% 75), eta Zr-Zn/Al<sub>2</sub>O<sub>3</sub>/SAPO-34-arekin egonkortasun handiagoa [34]. Gainera, olefinen hautakortasuna eta katalizatzaileen egonkortasuna hobetzeko, ZnO-ren kristal tamaina murriztea eta SAPO-34-aren azidotasuna mugatzea garrantzitsua dela ondorioztatu dute. Wang eta kol.-ek [35] CO<sub>2</sub> eta metanoaren formazioa inhibitza lortu dute Zn<sub>x</sub>Zr<sub>2</sub>O<sub>4</sub> funtzioan Ce sartuz, kasu honetan ere SAPO-34 erabiliz funtzio azido gisa. Ni eta kol.-ek [36], bestalde, ZnAlO<sub>x</sub>/SAPO-34 katalizatzaile baterako DME bitartekari gisa duen mekanismoa proposatzen dute hurrengo etapa hauekin: i) OH-Zn sortzea oxigeno gabeziengatik; ii) HO-Zn eta CO-aren arteko erreakzioa eta H(CO)O-Zn formiato espezieen eraketa; iii) espezie horien hidrogenazioa metanola (CH<sub>3</sub>OH) eta HO-Zn emateko; iv) metanolaren hedatzea Lewis gune azidoetara (+Al-O-Al-O-) CH<sub>3</sub>O-Al-O-Al-OH espezieak osatzeko; v) DMEAren eraketa: H<sub>3</sub>O-Al-O-Al-OH ⇌ CH<sub>3</sub>OCH<sub>3</sub> + H<sub>2</sub>O + 2 (+Al-O-Al-O-); eta, vi) olefina arinak sortzea DMEtik "hidrokarburo pool" mekanismoaren bidez. Su eta kol.-ek [37] In<sub>2</sub>O<sub>3</sub>-ZrO<sub>2</sub>/SAPO-34 katalizatzailea proposatzen dute olefinen % 73,6ko hautakortasuna eta CO-aren % 27,7eko bihurtze-mailak lortuz 400 °C-tan, Cr-dun beste katalizatzaile batzuekin lortutako pareko balioak lortuz (saihestu beharreko katalizatzaileak ingurunean duten eraginagatik). Liu eta kol.-ek [38] aromatikoen % 82,5eko hautakortasuna lortzen dute Cr<sub>2</sub>O<sub>3</sub>/HZSM-5 katalizatzailearekin, eta CeZrO<sub>2</sub>/HZSM-5 katalizatzailearekin aromatikoen % 83,1eko hautakortasuna lortzen da, Huang eta kol.-en [39] arabera. Azken katalizatzaile honen portaera ona funtziometalikoaren gainazaleko oxigeno gabeziengatik esleitzen diote egile horiek.

### 3.3. CO<sub>2</sub>-aren hidrogenazioa, CO<sub>2</sub> + H<sub>2</sub> erabiliz lehengai modura

Kontuan hartu behar da CO<sub>2</sub>-aren hidrogenazioan (4. ekuazioa) H<sub>2</sub> kantitate handiagoa behar dela CO-aren hidrogenazioan (3. ekuazioa) baino, eta baita H<sub>2</sub>O kantitate handiagoa eratzen dela ere; eta horrek hidrokarbu-roak eratzeko bide desberdinak moteltzen dituela. Desber-

dintasun horiek, CO-aren konbertsioan lorturiko emaitzak CO<sub>2</sub>-aren konbertsiora estrapolatzea saihesten du, eta ondorioz, erreakzio-baldintzak eta katalizatzaila-konposizio egokia hautatzea zaitzen du.

Katalizatzailaren hautaketa eta prozesuaren baldintzen hautaketa hidrokarburo frakzio desberdinak ekoizteria bideratu dira: hala nola, C<sub>2</sub>-C<sub>3</sub> parafinak, LPG (C<sub>2</sub>-C<sub>4</sub>), C<sub>2</sub>-C<sub>4</sub> olefinak, BTX aromatikoa eta gasolina (C<sub>5+</sub>). Li eta kol.-ek [40] CO<sub>2</sub>-aren % 25,2ko bihurtze-maila eta % 13,3ko hidrokarburo-ekina lortu dute, LPGen % 75eko hautakortasuna lortuz, CuO-ZnO-Al<sub>2</sub>O<sub>3</sub> funtzió metalikoa eta Pd-z eraldatutako H-beta zeolita azidoa dituen katalizatzailarekin. Fujiwara eta kol.-ek [41] C<sub>2+</sub> hidrokarburoen % 12,6ko etekina lortu dute 10 bar-eten, CuO-ZnO-Al<sub>2</sub>O<sub>3</sub>/H-beta katalizatzailarekin. Egile hauek fase metalikotik migratzen duten Cu ioien eta zeolitaren Bröns-ted guneen artean gertatzen den ioi-trukearen ondorioz gertatzen den katalizatzailaren desaktibazioa aztertzen dute. Cu-aren migrazio hori ahultzeko, zeolita gainazal hidrofoboz estal daitekeela proposatzen dute.

Cu-aren sinterizazioa saihesteko, CO<sub>2</sub>-aren hidrokarburoetarako hidrogenazio zuzenak behar dituen baldintzetan, hainbat egonkortze-estrategia desberdin aztertu dira Cu katalizatzailen (oxigenatuen sintesirako oso aktiboak direnak) konposizioa egokitzeko [42]. Hala nola, Cu-Al espinela, 600°C-tan egonkorra dena, eta Cu-a Al<sub>2</sub>O<sub>3</sub>-arekin estaltzea. Chen eta kol.-ek [43] CuZnZr/SAPO-34 katalizatzailaren egonkortasuna hobetzea lortu dute core-shell konfigurazioarekin prestatuz, eta SAPO-34-aren koke bidezko desaktibazioa arintza Zn-a gehituz. Olefinen % 72ko hautakortasun maximoa lortu dute. Hala ere, CuZnZr@Zn-SAPO-34 katalizatzialeak etengabeko desaktibazioa jasaten du 400 °C-tan. Olefinen hautakortasuna hazi egiten da (~% 48, 100 h erreakzionatu ondoren), baina CO<sub>2</sub>-aren bihurtze-maila murritzua egiten da % 17tik % 12ra denbora tarte horretan. Ghasemi eta kol.-ek [44] Cu-aren egonkortasuna bilatu dute NiCu/CeO<sub>2</sub>-SAPO-34 katalizatzilean, olefinen % 76,6ko hautakortasuna eta % 15,3eko bihurtze-maila lortuz 375°C eta 20 bar-eten, metanoaren hautakortasun baxua mantenduz (% 2,1 soilik).

CO<sub>2</sub>-aren hidrogenaziorako ZnO-ZrO<sub>2</sub> funtzióaren aktibitatea kontuan izanda, Wang eta kol.-ek. [45] ZnO-ZrO<sub>2</sub>/SAPO-34 katalizatzialeak aztertu dituzte. Bereziki olefinak modu hautakorrean ekoizteko duten ahalmena aztertu dute, CO aziproduktuaren sorerra minimizatz, Zn eta Zr guneen propietate elektronikoen konbinazioaren eraginez. Funtzió metalikoa funtzió azidoaz estaltzeko estrategiarekin (ZnO-ZrO<sub>2</sub>@Al<sub>2</sub>O<sub>3</sub>@SAPO-34 katalizatzalea), egile hauek [46] % 95eko olefinen hautakortasuna, CO<sub>2</sub>-aren % 21eko bihurtze-maila eta metanoaren % 3ko hautakortasuna lortu dituzte 380°C eta 30 bar-eten.

Oraintsu, In<sub>2</sub>O<sub>3</sub>-ZrO<sub>2</sub>/SAPO-34 katalizatzileekin olefinak modu hautakorrean ekoizteko emaitza onak lortu dira [47]. In<sub>2</sub>O<sub>3</sub>-ak metanolaren sintesirako aktibitate handia du gainazaleko oxigeno gabezietai CO<sub>2</sub>-a adsorbatzeko duen gaitasunaren ondorioz. Katalizatzaila metaliko honek erakutsi

dituen erredox ezaugarri azpimarragarriak direla eta, ugariak dira haren mekanismoaren ezagutzara eta aktibitatearen hobekuntzara bideratutako ikerketak. 3 irudian biltzen dira lan horietan aztertzen ari diren faktore eta estrategia garrantzitsuenak [48]. Bestalde, aurrelik arrazoitu bezala, SAPO-34 oso katalizatzaile egokia da olefinen produkzio hautakorrerako. % 87 inguruko hautakortasuna lortzen da 360°C-tan, % 13ko CO<sub>2</sub>-aren bihurtze-mailarako. Erreakzio-temperatura handitu ahala, olefinen hautakortasuna gutxitu egiten da. Honenbestez, 420°C-tan hautakortasuna % 70koa da eta CO<sub>2</sub>-aren bihurtze-maila % 27koa. Egile hauek diotenez (DFT kalkuluengatik oinarrituta), katalizatzaile honekin gertatzen den erreakzio-mekanismoan, bitartekari diren konposatu oxigenatuak metanolaren sintesian eta Fischer-Tropsch sintesian parte hartzen dutenak baino egonkorragoak dira, eta ondorioz, azpiproduktua den CO-aren formazioa murriztu egiten da. Prozesuaren bideragarritasunerako katalizatzaileen desaktibazioa kontrolatzea oso ezaugarri garrantzitsua da. Kasu honetan, ZrO<sub>2</sub> promotore estrukturalaren lana In<sub>2</sub>O<sub>3</sub>-ren sinterizazioa murriztea da. Gainera, aipagarria da MTO prozesuan SAPO-34 katalizatzaile azidoak jasaten duen koke bidezko desaktibazio esanguratsua ahuldu egiten dela erreakzio-ingurunean dagoen H<sub>2</sub> presio partzial altuaren eraginez. Nieskens eta kol.-ek. [49] zehaztu dute olefinen sintesi zuzenerako erabilitako In<sub>2</sub>O<sub>3</sub>-ZrO<sub>2</sub>/SAPO-34 katalizatzaile bifuntzionalaren SAPO-34 funtzio azidoaren desaktibazioa ez dela esanguratsua 360°C-tik gora. Dena den, Dang eta kol.-ek. [50] SAPO-34-ren azidotasunak kokearen jalkipenean duen garrantzia azpimarratzen dute, aipatzuz koke-edukia nabarmena izan daitekeela (% 7,4) nahiz eta azidotasun mugatuko SAPO-34-a erabili.



**3. irudia.** In<sub>2</sub>O<sub>3</sub> katalizatzaileen diseinurako faktore eta estrategia garrantzitsuak CO<sub>2</sub>-aren hidrogenaziotik metanola lortzeko ([48]-tik moldatua).

In<sub>2</sub>O<sub>3</sub>-ZrO<sub>2</sub> katalizatzalea beste zeotipo azidoekin ere konbinatu izan da, olefina arinak ez ezik, beste hidrokarburo frakzio batzuk sortzeko. SAPO-5-rekin, C<sub>2</sub>-C<sub>3</sub> parafinen hautakortasun altua lortzen da (% 83) eta % 6,7ko bihurtze-maila 300°C-tan [51]. Azidotasan sendoa duen SSZ-13 bezalako beste katalizatzale mikroporotsuekin (8-MR egitura duena) % 74,5eko propanoaren hautakortasuna lortzen da 350°C-tan [52]. HZSM-5 zeolitarekin, al-diz, gasolinaren (C<sub>5+</sub>) % 78,6ko hautakortasuna lortu izan da, eta % 13,1eko CO<sub>2</sub>-aren bihurtze-maila lortu izan da [53]. Egile hauek elikaduran CO kontzentrazioa handitzeak C<sub>5+</sub> hidrokarburoen eratzea eta CO<sub>2</sub>-aren konbertsioa faboratzen dituztela ondorioztatu dute. Horrek azaltzen du CO-aren presenziak In<sub>2</sub>O<sub>3</sub>-ZrO<sub>2</sub>-an gune aktiboen (oxigeno gabezien) kontzentrazioa handitzea. Zhou eta kol.-ek [54] ZnO-ZrO<sub>2</sub>/HZSM-5 katalizatzalearekin % 76ko hautakortasuna lortu dute % 16ko CO<sub>2</sub>-aren bihurtze-mailarekin eta metanoaren hautakortasuna % 1-era mugatuz, 340 °C eta 40 bar-eten. Eduki aromatiko mugatuko gasolina ekoizteko, al-diz, Li eta kol.-ek [55] norabide bakarreko egitura porotsua duten zeotipoak erabiltzea proposatzen dute (HZSM-22 eta SAPO-11). Esaterako, SAPO-11 Zn<sub>a</sub>Mn<sub>b</sub>O<sub>x</sub>-rekin konbinatuz C<sub>5</sub>-C<sub>11</sub> frakzioaren % 76,7ko hautakortasuna, % 20,3ko CO<sub>2</sub>-aren bihurtze-maila eta metanoaren hautakortasuna % 2,3ra mugatzea lortu izan da.

Wang eta kol.-ek [56] aromatikoen ekoizpen hautakorra (% 76) eta % 34,5eko CO<sub>2</sub>-aren bihurtze-maila lortu dituzte Cr<sub>2</sub>O<sub>3</sub>/HZSM-5@silicilita katalizatzalearekin. Ikerketa honekin, HZSM-5 zeolitaz eratutako estalduraren eraginkortasuna egiaztatu da, saihestu nahi diren para-xilenoaren alkilazio eta isomerizazio-erreakzioetarako kanpoko gune azidoen aktibitatea mugatuz. Ildo berean, goraipatzekoak dira Zhang eta kol.-ek [57] ZnO-ZrO<sub>2</sub>/HZSM-5 katalizatzalearekin lorturiko emaitzak; izan ere, aromatikoen % 70eko hautakortasuna lortu dute metanoarena % 1 azpitik mantenduz.

Laburpen gisa, artikuluan aipatutako emaitza esanguratsuenak 1. taulan biltzen dira.

Aurrera begira, CO<sub>2</sub>-aren balorizazio kimikoak hainbat erronka ditu:

- CO<sub>2</sub>-aren balorizazio kimikorako prozesuen optimizazioan aurrera egitea, lortutako balio erantsiko produktuen etekina eta balorizatuko CO<sub>2</sub> kantitatea maximizatuz. Helburu bikoitz hori betetzeko asmoz, funtsezkoa da prozesu katalitiko berrien garapenean aurrera egitea, desaktibazioarekiko erresistenteak diren katalizatzale hautakorrak diseinatuz eta operazio-baldintzak optimizatuz (temperatura, presioa, katalizatzalea eta erreaktore mota).
- Kalitatezko eta merkaturatzeko errazak diren produktu hidrokarbonatuak lortzea, sektore petrokimikorako eta petrolioaren ordezko erregai gisa erabiltzeko.
- Erreaktore katalitikoetan CO<sub>2</sub> erabiltzeko aukerak hobetzea. Besteak beste, CO<sub>2</sub>-aren konbertsioa hobetzeko behar den presio altuan lan egiteak dakartzan operazio-zailtasunak gainditzea.

**1. taula.** CO eta  $\text{CO}_2$ -aren hidrogenaziorako prozesuen, katalizataileen, operazio-baldintzen, konbertsioen eta hautakortasunen konparaketa.

Prozesua	Elikadura	Bilatutako produktua	Katalizatalea	Operazio baldintzak	Konbertsioa	Hautakortasuna	Erref.
$\text{H}_2+\text{CO}$	Olefinak eta aromatikoak	NaFe/HZSM-5		$\text{H}_2/\text{CO}: 1$ 400°C, 1 bar 7.200 $\text{h}^{-1}$	< % 5	$S_{\text{C}2-\text{C}4} : \% 55$ $S_{\text{atom.}} : \% 18$	[20]
	Aromatikoak	FeMn/HZSM-5@SiO <sub>2</sub>		$\text{H}_2/\text{CO}/\text{N}_2: 48.5/48.5/3$ 320°C, 10 bar 3.600 ml g <sup>-1</sup> h <sup>-1</sup>	% 60	$S_{\text{atom.}} : \% 33.6$ $S_{\text{atom. fasa likidoan.}} : \% 93$	[21]
	Isoalkanoak	Fe-Zn/Zr/HY		$\text{H}_2/\text{CO}: 2$ 340 °C, 50 bar 3.000 ml g <sup>-1</sup> h <sup>-1</sup>		$S_{\text{isoalkanoak.}} : \% 46$ $S_{\text{olef. paraf. (C}2-\text{C}4)} : \% 61.5$	[22]
FT	Aromatikoak	Na-FeHZSM-5@SiO <sub>2</sub>		$\text{H}_2/\text{CO}_2/\text{N}_2: 72.7/24.3/3$ 340°C, 10 bar 4.800 ml g <sup>-1</sup> h <sup>-1</sup>	30.9	$S_{\text{atom.}} : \% 41.3$ $S_{\text{atom. C}5+\text{fase likidoan.}} : \% 93.2$	[19]
	Isoalkanoak	Fe-Zn/Zr/HY		$\text{H}_2/\text{CO}_2: 3$ 340°C, 50 bar 3.000 ml g <sup>-1</sup> h <sup>-1</sup>	19	$S_{\text{isoalkanoak.}} : \% 63.5$ $S_{\text{olef. paraf. (C}2-\text{C}4)} : \% 83.5$	[22]
	Olefinak eta aromatikoak	Fe <sub>2</sub> O <sub>3</sub> @KO <sub>2</sub> /HZSM-5		$\text{H}_2/\text{CO}_2: 3$ 375°C, 30 bar 5.000 ml g <sup>-1</sup> h <sup>-1</sup>	48,9	$S_{\text{C}2-\text{C}4} : \% 12.1$ $S_{\text{atom.}} : \% 24.9$	[25]
$\text{H}_2+\text{CO}_2$	Olefinak eta aromatikoak	Fe <sub>2</sub> O <sub>3</sub> @KO <sub>2</sub> /MOR		$\text{H}_2/\text{CO}_2: 3$ 375°C, 30 bar 5.000 ml g <sup>-1</sup> h <sup>-1</sup>	48,3	$S_{\text{C}2-\text{C}4} : \% 33.3$ $S_{\text{atom.}} : \% 2.6$	[25]
	Aromatikoak	Zn-FeO <sub>x</sub> /HZSM-5		$\text{H}_2/\text{CO}_2/\text{N}_2: 73/24/3$ 320°C, 30 bar 1.000 ml g <sup>-1</sup> h <sup>-1</sup>	41	$S_{\text{atom.}} : \% 75$	[27]

Prozesua	Elikadura	Bilatutako produktua	Katalizatzailea	Operazio baldintzak	Konbertsoia	Hautakortasuna	Eref.
H <sub>2</sub> +CO MeOH/DME bitartekari	Olefinak	ZrZn/Al <sub>2</sub> O <sub>3</sub> -SAPO-34	H <sub>2</sub> /CO: 2 400°C, 10 bar 6,000 ml g <sup>-1</sup> h <sup>-1</sup>	5	S <sub>C2-C4=</sub> : % 74,8	[34]	
	Olefinak	ZnCrO <sub>x</sub> /ALPO-18	H <sub>2</sub> /CO: 1 390°C, 40 bar 1,200 h <sup>-1</sup>	25,2	S <sub>C2-C4=</sub> : % 45	[58]	
	Olefinak	Zn <sub>x</sub> Ce <sub>2-y</sub> Zr <sub>y</sub> O <sub>y</sub> /SAPO-34	H <sub>2</sub> /CO: 2 300°C, 10 bar 6,000 ml g <sup>-1</sup> h <sup>-1</sup>	7	S <sub>C2-C4=</sub> : ~% 76	[35]	
	Olefinak	Zn <sub>x</sub> AlO <sub>x</sub> /SAPO-34	H <sub>2</sub> /CO/Ar: 2/1/0,1 360°C, 40 bar 1,200 ml g <sup>-1</sup> h <sup>-1</sup>	10	S <sub>C2-C4=</sub> : % 76	[36]	
	Olefinak	In <sub>2</sub> O <sub>3</sub> -ZrO <sub>2</sub> /SAPO-34	H <sub>2</sub> /CO: 1 400°C, 20 bar 3,600 ml g <sup>-1</sup> h <sup>-1</sup>	27,7	S <sub>C2-C4=</sub> : % 73,6	[37]	
	Aromatikoak	Zn-Cr <sub>2</sub> O <sub>3</sub> /HZSM-5	H <sub>2</sub> /CO: 1 395°C, 20 bar 4,000 h <sup>-1</sup>	~10	S <sub>atom.</sub> : % 82,5	[38]	
	Aromatikoak	Ce-ZrO <sub>2</sub> /HZSM-5	H <sub>2</sub> /CO: 1 380°C, 20 bar 3,500 ml g <sup>-1</sup> h <sup>-1</sup>	8,1	S <sub>atom.</sub> : % 83,1	[39]	
	Hidrokarburoak	HiFUEL R120 + SAPO-34	H <sub>2</sub> /CO: 3 390°C, 50 bar 4,000 h <sup>-1</sup>	81	S <sub>(C2-C5)Paraf.</sub> : % 59	[49]	

Prozesua	Elikadura	Bilautako produktua	Katalizatzailea	Operazio baldintzak	Konbertsoa	Hautakortasuna	Eref.
	LPG (C <sub>3</sub> -C <sub>4</sub> parafinak)	CuO-ZnO-ZrO <sub>2</sub> -Al <sub>2</sub> O <sub>3</sub> /Pd-H $\beta$	H <sub>2</sub> /CO <sub>2</sub> ; 3 260°C, 20 bar 10 g·h <sup>-1</sup> ·mol <sup>-1</sup>	25,2	S <sub>LPG(C3-C4)Paraf.</sub> ; ~% 75	[40]	
	LPG (C <sub>2</sub> -parafinak)	CuO-ZnO- -Al <sub>2</sub> O <sub>3</sub> / -H $\beta$	H <sub>2</sub> /CO <sub>2</sub> ; 3 3.000°C, 9,8 bar 0,33 g·h <sup>-1</sup> ·L <sup>-1</sup>	25,2	S <sub>LPG(C3-C4)Paraf.</sub> ; ~% 75	[41]	
	Olefinak	CuZnZr@(Zn-)SAPO-34	H <sub>2</sub> /CO <sub>2</sub> ; 3 400°C, 20 bar 6.000 h <sup>-1</sup>	~7,5	S <sub>C<sub>2</sub>-C<sub>4</sub>=</sub> ; % 72	[43]	
MeOH/DME bitartekari H <sub>2</sub> +CO <sub>2</sub>	Olefinak	NiCu/CeO <sub>2</sub> -SAPO-34	H <sub>2</sub> /CO <sub>2</sub> ; 3 375°C, 20 bar 12 L h <sup>-1</sup>	15,3	S <sub>C<sub>2</sub>-C<sub>4</sub>=</sub> ; % 76,6	[44]	
	Olefinak	ZnZrO <sub>2</sub> @Al <sub>2</sub> O <sub>3</sub> @SAPO-34	H <sub>2</sub> /CO <sub>2</sub> ; 3 380°C, 30 bar 3.500 ml g <sup>-1</sup> h <sup>-1</sup>	21	S <sub>C<sub>2</sub>-C<sub>4</sub>=</sub> ; % 75	[46]	
	Olefinak	In <sub>2</sub> O <sub>3</sub> -ZrO <sub>2</sub> /SAPO-34	H <sub>2</sub> /CO <sub>2</sub> /N <sub>2</sub> ; 73/24/3 400°C, 30 bar 4.000 ml g <sup>-1</sup> h <sup>-1</sup>	~35	S <sub>C<sub>2</sub>-C<sub>4</sub>=</sub> ; > % 75	[47]	

#### 4. AKRONIMOAK

CCU	Carbon Capture and Utilization, ingelessez. Karbono dioxidoaren bahlketa eta erabilera.
DFT	Density Functional Theory, ingelessez.
DME	Dimetil eterra.
DTO	Dimethyl ether To Olefins, ingelesez. Dimetil eterretik olefinak ekoizteko prozesua.
FT	Fischer-Tropsch.
LPG	Liquefied Petroleum Gases, ingelesez.
MTO	Methanol To Olefins, ingelesez. Metanoletik olefinak ekoizteko prozesua.
OX/ZEOLITE	Oxido metalikoa eta zeotipo hautakorra konbinatzen dituen kataliztzailea.
rWGS	Reverse Water Gas Shift, ingelesez. Ur-gasaren alderantzizko erreakzioa.
STD	Syngas To Dimethyl ether, ingelesez. Sintesi gasetik zuzenean dimetil eterra ekoizteko prozesua.

#### 5. ESKER ONAK

Artikulu honek UPV/EHUREn, Eusko Jaurlaritzaren (IT1218-19 Proiektua), eta Espainiako Zientzia eta Berrikuntza Ministerioaren (PID2019-108448RB-I00) diru-laguntzak jaso ditu. Ander Portillok eskerrak ematen ditu Espainiako Zientzia eta Berrikuntza Ministerioaren aldetik jasotako laguntzagatik (BES-2017-081135).

#### BIBLIOGRAFIA

- [1] Greenhouse Gas (GHG) Emissions | US EPA.
- [2] YUAN, Z., EDEN, M. R., GANI, R. 2016. «Toward the Development and Deployment of Large-Scale Carbon Dioxide Capture and Conversion Processes». *Industrial and Engineering Chemistry Research*, **55**, 3383-3419.
- [3] ATEKA, A., SIERRA, I., JAVIER, E. 2016. «CO<sub>2</sub>-ren bahiketa, klima-aldeketa arintzeko estrategia». *EKAIA*, **30**, 81-92.
- [4] A. ATEKA, A. PORTILLO, J. EREÑA. 2020. «CO<sub>2</sub>-aren erabilera, negutegi-efektua murrizteko estrategia». *EKAIA*, **37**, 257-270.
- [5] GALADIMA, A., MURAZA, O. 2019. «Catalytic thermal conversion of CO<sub>2</sub> into fuels: Perspective and challenges». *Renewable and Sustainable Energy Reviews*, **115**, 109333.

- [6] TOMKINS, P., MÜLLER, T. E. 2019. «Evaluating the carbon inventory, carbon fluxes and carbon cycles for a long-term sustainable world». *Green Chemistry*, **21**, 3994-4013.
- [7] ZHOU, W., CHENG, K., KANG, J., ZHOU, C., SUBRAMANIAN, V., ZHANG, Q., WANG, Y. 2019. «New horizon in C1 chemistry: Breaking the selectivity limitation in transformation of syngas and hydrogenation of CO<sub>2</sub> into hydrocarbon chemicals and fuels». *Chemical Society Reviews*, **48**, 3193-3228.
- [8] FALCINELLI, S. 2020. «Fuel production from waste CO<sub>2</sub> using renewable energies». *Catalysis Today*, **348**, 95-101.
- [9] CHEN, G., WATERHOUSE, G. I. N., SHI, R., ZHAO, J., LI, Z., WU, L. Z., TUNG, C. H., ZHANG, T. 2019. «From Solar Energy to Fuels: Recent Advances in Light-Driven C1 Chemistry». *Angewandte Chemie-International Edition*, **58**, 17528-17551.
- [10] LEE, J., KIM, S., KIM, Y. T., KWAK, G., KIM, J. 2020. «Full carbon upcycling of landfill gas into methanol by integrating CO<sub>2</sub> hydrogenation and methane reforming: Process development and techno-economic analysis». *Energy*, **199**, 117437.
- [11] MONDAL, U., YADAV, G. D. 2019. «Perspective of dimethyl ether as fuel: Part I. Catalysis». *Journal of CO<sub>2</sub> Utilization*, **32**, 299-320.
- [12] ATEKA, A., PÉREZ-URIARTE, P., GAMERO, M., EREÑA, J., AGUAYO, A. T., BILBAO, J. 2017. «A comparative thermodynamic study on the CO<sub>2</sub> conversion in the synthesis of methanol and of DME». *Energy*, **120**, 796-804.
- [13] PÉREZ-URIARTE, P., ATEKA, A., GAMERO, M., AGUAYO, A. T., BILBAO, J. 2016. «Effect of the Operating Conditions in the Transformation of DME to olefins over a HZSM-5 Zeolite Catalyst». *Industrial and Engineering Chemistry Research*, **55**, 6569-6578.
- [14] DRAB, D. M., WILLAUER, H. D., OLSEN, M. T., ANANTH, R., MUSHRUSH, G. W., BALDWIN, J. W., HARDY, D. R., WILLIAMS, F. W. 2013. «Hydrocarbon synthesis from carbon dioxide and hydrogen: A two-step process». *Energy and Fuels*, **27**, 6348-6354.
- [15] TORRES GALVIS, H. M., DE JONG, K. P. 2013. «Catalysts for production of lower olefins from synthesis gas: A review». *ACS Catalysis*, **3**, 2130-2149.
- [16] LIU, B., LI, W., XU, Y., LIN, Q., JIANG, F., LIU, X. 2019. «Insight into the Intrinsic Active Site for Selective Production of Light Olefins in Cobalt-Catalyzed Fischer-Tropsch Synthesis». *ACS Catalysis*, **9**, 7073-7089.
- [17] DO, T. N., KIM, J. 2020. «Green C<sub>2</sub>-C<sub>4</sub> hydrocarbon production through direct CO<sub>2</sub> hydrogenation with renewable hydrogen: Process development and techno-economic analysis». *Energy Conversion and Management*, **214**, 112866.
- [18] GU, B., ORDOMSKY, V. V., BAHRI, M., ERSEN, O., CHERNAVSKII, P. A., FILIMONOV, D., KHODAKOV, A. Y. 2018. «Effects of the promotion with bismuth and lead on direct synthesis of light olefins from syngas over carbon nanotube supported iron catalysts». *Applied Catalysis B: Environmental*, **234**, 153-166.

- [19] XU, Y., SHI, C., LIU, B., WANG, T., ZHENG, J., LI, W., LIU, D., LIU, X. 2019. «Selective production of aromatics from CO<sub>2</sub> Selective production of aromatics from CO<sub>2</sub>». *Catalysis Science and Technology*, **9**, 593.
- [20] WEBER, J. L., DUGULAN, I., DE JONGH, P. E., DE JONG, K. P. 2018. «Bi-functional Catalysis for the Conversion of Synthesis Gas to Olefins and Aromatics». *ChemCatChem*, **10**, 1107-1112.
- [21] WANG, T., XU, Y., SHI, C., JIANG, F., LIU, B., LIU, X. 2019. «Direct production of aromatics from syngas over a hybrid FeMn Fischer-Tropsch catalyst and HZSM-5 zeolite: local environment effect and mechanism-directed tuning of the aromatic selectivity». *Catalysis Science and Technology*, **9**, 3933.
- [22] NI, X., TAN, Y., HAN, Y., TSUBAKI, N. 2007. «Synthesis of isoalkanes over Fe-Zn-Zr/HY composite catalyst through carbon dioxide hydrogenation». *Catalysis Communications*, **8**, 1711-1714.
- [23] YANG, H., ZHANG, C., GAO, P., WANG, H., LI, X., ZHONG, L., WEI, W., SUN, Y. 2017. «A review of the catalytic hydrogenation of carbon dioxide into value-added hydrocarbons». *Catalysis Science and Technology*, **7**, 4580-4598.
- [24] SAEIDI, S., NAJARI, S., FAZLOLLAHI, F., NIKOO, M. K., SEFIDKON, F., KLEMEŠ, J. J., BAXTER, L. L. 2017. «Mechanisms and kinetics of CO<sub>2</sub> hydrogenation to value-added products: A detailed review on current status and future trends». *Renewable and Sustainable Energy Reviews*, **80**, 1292-1311.
- [25] RAMIREZ, A., CHOWDHURY, A. D., DOKANIA, A., CNUDDE, P., CAGLAYAN, M., YARULINA, I., ABOU-HAMAD, E., GEVERS, L., OULD-CHIKH, S., DE WISPELAERE, K., VAN SPEYBROECK, V., GASCON, J. 2019. «Effect of Zeolite Topology and Reactor Configuration on the Direct Conversion of CO<sub>2</sub> to Light Olefins and Aromatics». *ACS Catalysis*, **9**, 6320-6334.
- [26] RAMIREZ, A., DUTTA CHOWDHURY, A., CAGLAYAN, M., RODRIGUEZ-GOMEZ, A., WEHBE, N., ABOU-HAMAD, E., GEVERS, L., OULD-CHIKH, S., GASCON, J. 2020. «Coated sulfated zirconia/SAPO-34 for the direct conversion of CO<sub>2</sub> to light olefins». *Catalysis Science and Technology*, **10**, 1507-1517.
- [27] CUI, X., GAO, P., LI, S., YANG, C., LIU, Z., WANG, H., ZHONG, L., SUN, Y. 2019. «Selective Production of Aromatics Directly from Carbon Dioxide Hydrogenation». *ACS Catalysis*, **9**, 3866-3876.
- [28] SONAL, AHMAD, E., UPADHYAYULA, S., PANT, K. K. 2019. «Biomass-derived CO<sub>2</sub> rich syngas conversion to higher hydrocarbon via Fischer-Tropsch process over Fe-Co bimetallic catalyst». *International Journal of Hydrogen Energy*, **44**, 27741-27748.
- [29] AN, Y., LIN, T., YU, F., YANG, Y., ZHONG, L., WU, M., SUN, Y. 2017. «Advances in direct production of value-added chemicals via syngas conversion». *Science China Chemistry*, **60**, 887-903.
- [30] ROY, S., CHEREVOTAN, A., PETER, S. C. 2018. «Thermochemical CO<sub>2</sub> Hydrogenation to Single Carbon Products: Scientific and Technological Challenges». *ACS Energy Letters*, **3**, 1938-1966.
- [31] NESTERENKO, N., AGUILHON, J., BODART, P., MINOUX, D., DATH, J. P. *Zeolites and Zeolite-like Materials*. Elsevier Inc. 2016, pp. 189-263.

- [32] YANG, X., SUN, T., MA, J., SU, X., WANG, R., ZHANG, Y., DUAN, H., HUANG, Y., ZHANG, T. 2019. «The influence of intimacy on the «iterative reactions» during OX-ZEO process for aromatic production». *Journal of Energy Chemistry*, **35**, 60-65.
- [33] RAVEENDRA, G., LI, C., CHENG, Y., MENG, F., LI, Z. 2018. «Direct transformation of syngas to lower olefins synthesis over hybrid Zn-Al<sub>2</sub>O<sub>3</sub>/SAPO-34 catalysts». *New J. Chem*, **42**, 4419.
- [34] RAVEENDRA, G., LI, C., LIU, B., CHENG, Y., MENG, F., LI, Z. 2018. «Synthesis of lower olefins from syngas over Zn/ Al<sub>2</sub>O<sub>3</sub>-SAPO-34 hybrid catalysts: role of doped Zr and influence of the Zn/Al<sub>2</sub>O<sub>3</sub> ratio». *Catalysis Science. Technology*, **8**, 3527.
- [35] WANG, S., WANG, P., SHI, D., HE, S., ZHANG, L., YAN, W., QIN, Z., LI, J., DONG, M., WANG, J., OLSBYE, U., FAN, W. 2020. «Direct Conversion of Syngas into Light Olefins with Low CO<sub>2</sub> Emission». *ACS Catalysis*, **10**, 2046-2059.
- [36] NI, Y., LIU, Y., CHEN, Z., YANG, M., LIU, H., HE, Y., FU, Y., ZHU, W., LIU, Z. 2019. «Realizing and Recognizing Syngas-to-Olefins Reaction via a Dual-Bed Catalyst». *ACS Catalysis*, **9**, 1026-1032.
- [37] SU, J., WANG, D., WANG, Y., ZHOU, H., LIU, C., LIU, S., WANG, C., YANG, W., XIE, Z., HE, M. 2018. «Direct Conversion of Syngas into Light Olefins over Zirconium-Doped Indium(III) Oxide and SAPO-34 Bifunctional Catalysts: Design of Oxide Component and Construction of Reaction Network». *ChemCatChem*, **10**, 1536-1541.
- [38] LIU, C., LIU, S., ZHOU, H., SU, J., JIAO, W., ZHANG, L., WANG, Y., HE, H., XIE, Z. 2019. «Selective conversion of syngas to aromatics over metal oxide/HZSM-5 catalyst by matching the activity between CO hydrogenation and aromatization». *Applied Catalysis A: General*, **585**, 117206-117214.
- [39] HUANG, Z., WANG, S., QIN, F., HUANG, L., YUE, Y., HUA, W., QIAO, M., HE, H., SHEN, W., XU, H. 2018. «Ceria-Zirconia/Zeolite Bifunctional Catalyst for Highly Selective Conversion of Syngas into Aromatics». *ChemCatChem*, **10**, 4519-4524.
- [40] LI, C., YUAN, X., FUJIMOTO, K. 2014. «Direct synthesis of LPG from carbon dioxide over hybrid catalysts comprising modified methanol synthesis catalyst and β-type zeolite». *Applied Catalysis A: General*, **475**, 155-160.
- [41] FUJIWARA, M., SATAKE, T., SHIOKAWA, K., SAKURAI, H. 2015. «CO<sub>2</sub> hydrogenation for C2+ hydrocarbon synthesis over composite catalyst using surface modified HB zeolite». *Applied Catalysis B: Environmental*, **179**, 37-43.
- [42] YE, R. P., LIN, L., LI, Q., ZHOU, Z., WANG, T., RUSSELL, C. K., ADIDHARMA, H., XU, Z., YAO, Y. G., FAN, M. 2018. «Recent progress in improving the stability of copper-based catalysts for hydrogenation of carbon-oxygen bonds». *Catalysis Science and Technology*, **8**, 3428-3449.
- [43] CHEN, J., WANG, X., WU, D., ZHANG, J., MA, Q., GAO, X., LAI, X., XIA, H., FAN, S., ZHAO, T.-S. 2019. «Hydrogenation of CO<sub>2</sub> to light olefins on CuZnZr@ (Zn-)SAPO-34 catalysts: Strategy for product distribution». *Fuel*, **239**, 44-52.

- [44] GHASEMI, M., MOHAMMADI, M., SEDIGHI, M. 2020. «Sustainable production of light olefins from greenhouse gas CO<sub>2</sub> over SAPO-34 supported modified cerium oxide». *Microporous and Mesoporous Materials*, **297**, 110029.
- [45] WANG, G., ZENG, L., CAO, J., LIU, F., LIN, Q., YI, Y., PAN, H. 2019. «Highly selective conversion of CO<sub>2</sub> to hydrocarbons over composite catalysts of ZnO-ZrO<sub>2</sub> and SAPO-34». *Microporous and Mesoporous Materials*, **284**, 133-140.
- [46] WANG, G., WANG, Y., CAO, J., WANG, X., YI, Y., LIU, F. 2020. «Fabrication of ZnZrO<sub>2</sub>@Al<sub>2</sub>O<sub>3</sub>@SAPO-34 tandem catalyst for CO<sub>2</sub> conversion to hydrocarbons». *Microporous and Mesoporous Materials*, **291**, 109693.
- [47] GAO, P., DANG, S., LI, S., BU, X., LIU, Z., QIU, M., YANG, C., WANG, H., ZHONG, L., HAN, Y., LIU, Q., WEI, W., SUN, Y. 2018. «Direct Production of Lower Olefins from CO<sub>2</sub> Conversion via Bifunctional Catalysis». *ACS Catalysis*, **8**, 571-578.
- [48] WANG, J., ZHANG, G., ZHU, J., ZHANG, X., DING, F., ZHANG, A., GUO, X., SONG, C. 2021. «CO<sub>2</sub> Hydrogenation to Methanol over In<sub>2</sub>O<sub>3</sub>-Based Catalysts: From Mechanism to Catalyst Development». *ACS Catalysis*, **11**, 1406-1423.
- [49] NIESKENS, D. L. S., LUNN, J. D., MALEK, A. 2018. «Understanding the Enhanced Lifetime of SAPO-34 in a Direct Syngas-to-Hydrocarbons Process». *ACS Catal*, **9**, 691-700.
- [50] DANG, S., LI, S., YANG, C., CHEN, X., LI, X., ZHONG, L., GAO, P., SUN, Y. 2019. «Selective Transformation of CO<sub>2</sub> and H<sub>2</sub> into Lower Olefins over In<sub>2</sub>O<sub>3</sub>-Zn-ZrO<sub>x</sub>/SAPO-34 Bifunctional Catalysts». *ChemSusChem*, **12**, 3582-3591.
- [51] WANG, J., ZHANG, A., JIANG, X., SONG, C., GUO, X. 2018. «Highly selective conversion of CO<sub>2</sub> to lower hydrocarbons (C<sub>2</sub>-C<sub>4</sub>) over bifunctional catalysts composed of In<sub>2</sub>O<sub>3</sub>-ZrO<sub>2</sub> and zeolite». *Journal of CO<sub>2</sub> Utilization*, **27**, 81-88.
- [52] LIU, Z. Z., NI, Y., SUN, T., ZHU, W., LIU, Z. Z. 2021. «Conversion of CO<sub>2</sub> and H<sub>2</sub> into propane over InZrO<sub>x</sub> and SSZ-13 composite catalyst». *Journal of Energy Chemistry*, **54**, 111-117.
- [53] GAO, P., LI, S., BU, X., DANG, S., LIU, Z., WANG, H., ZHONG, L., QIU, M., YANG, C., CAI, J., WEI, W., SUN, Y. 2017. «Direct conversion of CO<sub>2</sub> into liquid fuels with high selectivity over a bifunctional catalyst». *Nature Chemistry*, **9**, 1019-1024.
- [54] ZHOU, C., SHI, J., ZHOU, W., CHENG, K., ZHANG, Q., KANG, J., WANG, Y. 2020. «Highly Active ZnO-ZrO<sub>2</sub> Aerogels Integrated with H-ZSM-5 for Aromatics Synthesis from Carbon Dioxide». *ACS Catalysis*, **10**, 302-310.
- [55] LI, N., JIAO, F., PAN, X., CHEN, Y., FENG, J., LI, G., BAO, X. 2019. «High-Quality Gasoline Directly from Syngas by Dual Metal Oxide-Zeolite (OX-ZEO) Catalysis». *Angewandte Chemie*, **131**, 7478-7482.
- [56] WANG, Y., TAN, L., TAN, M., ZHANG, P., FANG, Y., YONEYAMA, Y., YANG, G., TSUBAKI, N. 2018. «Rationally Designing Bifunctional Catalysts as an Efficient Strategy To Boost CO<sub>2</sub> Hydrogenation Producing Value-Added Aromatics», *ACS Catalysis*, **9**, 895-901.

- [57] ZHANG, X., ZHANG, A., JIANG, X., ZHU, J., LIU, J., LI, J., ZHANG, G., SONG, C., GUO, X. 2019. «Utilization of CO<sub>2</sub> for aromatics production over ZnO/ZrO<sub>2</sub>-ZSM-5 tandem catalyst». *Journal of CO<sub>2</sub> Utilization*, **29**, 140-145.
- [58] SU, J., ZHOU, H., LIU, S., WANG, C., JIAO, W., WANG, Y., LIU, C., YE, Y., ZHANG, L., ZHAO, Y., LIU, H., WANG, D., YANG, W., XIE, Z., HE, M. 2019. «Syngas to light olefins conversion with high olefin/paraffin ratio using Zn-CrO<sub>x</sub>/AlPO-18 bifunctional catalysts». *Nature communications*, **10**, 1297.